# 含螯合配体的钕配合物的晶体结构

张致贵 张武阳 牛淑云 (吉林大学化学系,长春) 叶玲 樊玉国 (吉林大学理化所,长春)

用 NdCl<sub>3</sub>, NaS<sub>2</sub>CNEt<sub>2</sub> 和 Et<sub>4</sub>NBr 为原料,在甲醇溶剂中反应,生成钕配合物,  $[Et_4N][Nd(S_2CNEt_2)_4]$ 晶体,用 X-射线衍射法测定了配合物的晶体结构。晶体属于单斜晶系,空间群  $P2_1/n$ 晶胞参数,a=11.704(3) Å,b=20.941(3) Å,c=17.564(4) Å,V=4242.2 Å <sup>3</sup>,Z=4。结构经最 小二乘方法修正后偏离因子为 R=0.0564。在配合物钕离子是通过 8 个硫原子配位形成扭曲的NdS<sub>8</sub> 核的 十二面体。并对配合物的红外线光谱和紫外可见光谱也进行了研究。

#### 关键词: 钕 配合物 结构

镧系离子对卤素、氧、氮、磷、碳和氢等都具有较强的亲和力,能够形成相当稳定的 镧系配位键  $^{[1,2]}$ 。而镧——硫配位键。报导较少,D.Brown 在 1970 年报导了两种  $\mathrm{Ln(dTC)}_3$ 和  $[\mathrm{Et}_4\mathrm{N}][\mathrm{Ln(dTC)}_4]$  的合成,得到了粉末产物,Liu Juzheng 等人报导了  $\mathrm{Na}[(\mathrm{S}_2\mathrm{CNEt}_2)_4] \cdot \mathrm{CH}_3\mathrm{CN}$  的合成和结构  $^{[3]}$ 。最近,我们在不同的条件下,又合成出  $[\mathrm{Et}_4\mathrm{N}][\mathrm{Nd}(\mathrm{S}_2\mathrm{CNEt}_2)_4]$ 的晶体,该晶体在空气中是相当稳定的。本文主要报导该晶体的合成、结构和光谱性质的研究。

# 实验部分

# 1. [Et, NNd(S, CNEt,)]配合物的制备

称取 0.5g (2.0mmol) NdCl<sub>3</sub>在 30ml 甲醇中溶解后,加入 0.9g (5.0mmol) NaS<sub>2</sub>CNEt<sub>2</sub>,在室温下搅拌反应几小时,然后再加入 0.5g(2.4mmol)Et<sub>4</sub>NBr,并加热回流 3 小时,过滤得到反应液,在室温下放置几天,就生成灰色晶体,按照实验式 NdS<sub>8</sub>C<sub>28</sub>H<sub>60</sub>N<sub>5</sub>元素 分析 结果 为: Nd、 16.28%; S, 28.95%; C, 38.26%; H, 6.25%; N, 7.82%; 计算值为: Nd, 16.64%; S, 29.59%; C、 38.77%; H, 6.92%; N, 8.08%;

#### 2. 晶体结构测定

选取  $0.30\times0.30\times0.40$ mm 单晶,用 Nicolet R<sub>3</sub>型四圆衍射仪,石墨单色器,MoK<sub>a</sub>辐射,在  $3<2\theta<48$ °范围内共收集 8872 个独立反射点,其中  $I>3\sigma(I)$ 的可观测的反射点 5411 个。晶体属单斜晶系,空间群  $P2_1/n$ ,a=11.704(3)Å,b=20.941(3)Å,c=17.564(4)Å, $\beta=99.80(1)$ °,V=4242.2Å<sup>3</sup>,Z=4。反射数据经过 PL 因子校正,经

验吸收校正和数据还原后,首先应用重原子法即从 Patterson 函数的分析中得到 Nd 原子坐标和 8个S原子坐标,接着从若干轮差值 Fourier 合成中得到全部非氢原子坐标,从而确定化学式为 $[Et_4N][Nd(S_2CNEt_2]$ 按照理论模型引入全部氢原子结构修正采用块矩阵最小二乘法程序,从各向同性温度因子校正转为各向异性,收敛后得最后 R=0.0564,  $R_w=0.0582$ 。全部计算工作应用 SHELXTL 程序,在 S/250 计算机上进行的。钕配合物非氢原子坐标及温度因子列于表 1,配合的键长和键角列于表 2 和表 3。

### 结 果 与 讨 论

#### 1.结构的描述

敏配合物[Et4N][Nd(S2CNEt2)为离子化合物,正负电中心离子之间距离为 3.512 Å, 正负离子之间靠静电引力结合。结构分析指出,配合物的负离子,[Nd(S2CNEt2)4] 是一个8配位的钕配合物阴离子,由8个S原子同Nd配位的,它没有采取正方反菱形的配位构型,而是歪曲的十二面体NdS8核的几何构型。其晶体分子结构如图 1 所示,晶体分子在晶胞中的排布如图 2 所示。在四圆硫一钕螯环中,S-Nd-S夹角平均值为60.77°,而两个Nd-S键长分别为 2.892Å和 2.932Å,这就说明了(S2CNEt2) 配位的扭曲,这在过渡金属和锕系元素的M(S2CNEt2)4类型中,是很少碰见的。

#### 2.红外光谱

敏配合物红外光谱分析结构指出,其主要特征振动为 2950cm  $^{-1}$  (CH<sub>3</sub> -的 C-H $\nu_{as}$ , s),2910cm  $^{-1}$  (-CH<sub>2</sub> -的 C-H $\nu_{as}$ ,s), 2880cm  $^{-1}$  (-CH<sub>3</sub> -的 C-H $\nu_{s}$ ,w),2850cm  $^{-1}$  (-CH<sub>2</sub> - 的 C-H $\nu_{s}$ ,w),1470~ 1350cm  $^{-1}$  (C-H $\delta$ ,s),600~ 800cm  $^{-1}$  (C-S,s),1000~ 1200cm  $^{-1}$  (C=S,s),3400cm  $^{-1}$  (w),1300~ 1200cm  $^{-1}$  (s),1000~ 900cm  $^{-1}$  (s),为 C-N  $\stackrel{C}{\subset}$  振动,310 cm  $^{-1}$  (w),350cm  $^{-1}$  (w),390cm  $^{-1}$  (w), $\pi$  420cm  $^{-1}$  (w)为 Nd-S 振动  $^{[4-6]}$ .

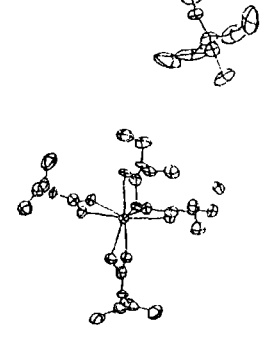
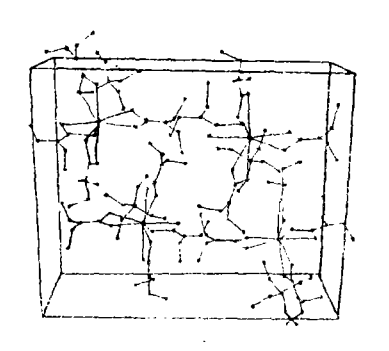


图 1 **钕配合物的结构**Fig.1 The structure of [Et<sub>4</sub>N] [Nd(S<sub>2</sub>CNEt<sub>2</sub>)<sub>4</sub>]



#### 3.紫外可见光谱

钕配合物紫外可见光谱分析结果表明, 钕配合物在 265nm(s),295nm(s),540nm(w),

表 1 非氢原子坐标(×10<sup>4</sup>)和温度因子(Å <sup>2</sup>×10<sup>3</sup>)

Table 1 Non-hydrogen Atom Coordinates	$\times 10^4$	) and Temperature	Factors( Å	$^{2} \times 10^{3}$ )
---------------------------------------	---------------	-------------------	------------	------------------------

=	_			
atom	х	у	z	U
Nd	1074(1)	6873(1)	7333(1)	54(1)
S(1)	1957(2)	6798(1)	8972(1)	88(1)
<b>S</b> (2)	3521(2)	6551(1)	7851(1)	77(1)
S(3)	0(2)	8103(1)	7593(1)	73(1)
S(4)	1973(2)	8053(1)	6/57(1)	79(1)
S(5)	1892(2)	6348(1)	5993(1)	76(1)
S(6)	-551(2)	6735(1)	5895(1)	86(1)
S(7)	415(2)	5542(1)	7451(2)	88(1)
\$(8)	-930(2)	6563(1)	8061(1)	75(1)
C(1)	3347(7)	6629(4)	8801(5)	98(3)
N(1)	4224(5)	6552(3)	9389(4)	48(2)
C(11)	4055(7)	6613(4)	10208(5)	84(3)
C(12)	3680(10)	5962(5)	10514(5)	115(5)
C(13) .	5402(7)	6407(4)	9258(5)	87(4)
C(14)	6144(9)	7013(5)	9321(7)	118(5)
C(3)	1078(6)	8497(4)	7232(4)	87(3)
N(3)	1216(6)	9134(3)	7309(4)	53(2)
C(31)	452(8)	9522(4)	7713(5)	89(4)
C(32)	1026(12)	9687(5)	8548(7)	143(6)
C(33)	2197(8)	9483(4)	7049(6)	93(4)
C(34)	1779(10)	9801(5)	6277(6)	114(5)
C(5)	519(7)	6394(4)	5465(4)	101(3)
N(5)	290(7)	6166(4)	4749(4)	81(3)
C(51)	-984(12)	6093(6)	4319(7)	146(6)
C(52)	-1223(14)	6654(7)	3796(9)	179(8)
C(53)	1261(12)	5961(6)	4342(6)	139(6)
C(54)	1433(15)	5264(8)	4502(9)	193(9)
C(7)	-647(7)	5765(4)	7962(5)	104(4)
N(7)	-1230(7)	5322(3)	8305(5)	80(3)
C(71)	-919(14)	4635(6)	8290(10)	154(8)
C(72)	-1767(20)	4393(8)	7654(11)	212(12)
C(73)	-2111(10)	5489(5)	8768(8)	122(6)
C(74)	-1557(13)	5504(7)	9625(9)	157(8)
N(A)	9419(6)	2033(4)	9054(6)	112(4)
C(A1)	9348(17)	1888(8)	9917(10)	236(11)
C(A2)	10370(24)	1597(12)	10300(9)	318(16)

atom	x	y	z	$\boldsymbol{U}$
C(A3)	10508(7)	2412(5)	8978(6)	104(4)
C(A4)	10585(12)	3060(6)	9389(9)	165(8)
C(A5)	8286(9)	2411(5)	8664(12)	246(12)
C(A6)	8341(13)	2595(6)	7860(12)	269(12)
C(A7)	9532(8)	1421(4)	8601(6)	100(4)
C(A8)	8492(10)	939(5)	8588(8)	146(6)

#### 表 2 钕配合物的键长(A)

and an analysis and an analysi				
Table 2 Bond Lengths of Neodymium Coordination Compound(Å)				
Nd-S(1)	2.892(2)	Nd-S(2)	2.932(2)	
Nd-S(3)	2.936(2)	Nd-S(4)	2.933(2)	
Nd-S(5)	2.904(2)	Nd-S(6)	2.906(2)	
Nd-S(7)	2.909(2)	Nd-S(8)	2.929(2)	
S(1)-C(1)	1.740(9)	S(2)-C(2)	1.722(9)	
S(3)-C(3)	1.718(8)	S(4)-C(3)	1.718(8)	
S(5)-C(5)	1.716(8)	S(6)-C(5)	1.723(9)	
S(7)-C(7)	1.718(9)	S(8)-C(7)	1.718(8)	
C(1)-N(1)	1.336(9)	N(1)-C(11)	1.490(11)	
N(1)-C(13)	1.468(11)	C(11)-C(12)	1.556(14)	
C(13)-C(14)	1.531(13)	C(3)-N(3)	1.347(10)	
N(3)-C(31)	1.477(12)	N(3)-C(31)	1.496(12)	
C(31)-C(32)	1.545(15)	C(33)-C(34)	1.516(14)	
C(5)-N(5)	1.330(11)	N(5)-C(51)	1.560(15)	
C(53)-C(54)	1.495(2:1)	C(7)-N(7)	1.352(12)	
N(5)-C(53)	1.504(16)	C(51)-C(52)	1.489(19)	
N(7)-C(71)	1.486(115)	N(7)-C(73)	1.460(16)	
C(71)-C(72)	1.453(24)	C(73)-C(74)	1.534(20)	
N(A)-C(A)	1.562(21)	N(A)-C(A3)	1.526(12)	
N(A)-C(A5)	1.595(14)	N(A)-C(A7)	1.527(13)	
C(A1)-C(A2)	1.408(31)	C(A3)-C(A4)	1.532(17)	

#### 表 3 钕配合物的键角(度)

Table 3 Bond An	gles of Neodym	ium Coordination Co	mpound( '')
S(1)-Nd-S(2)	60.9	S(1)-Nd-S(3)	89.0(1)
S(1)-Nd-S(4)	107.5(1)	S(1)-Nd-S(5)	132.4(1)
S(1)-Nd-S(6)	158.4(1)	S(1)-Nd-S(7)	86.1(1)
S(1)-Nd-S(8)	74.4(11)	S(2)-Nd-S(3)	125.1(1)

S(2)-Nd-S(4) 85.0(1) S(2)-Nd-S(5) 74.1(1)

S(2)-Nd-S(6)	135.0(1)	S(2)-Nd-S(7)	90.8(1)
S(2)-Nd-S(8)	128.8(1)	S(3)-Nd-S(4)	60.2(1)
S(3)-Nd-S(5)	131.9(1)	S(3)-Nd-S(6)	89.3(1)
S(3)-Nd-S(7)	134.8(1)	S(3)-Nd-S(8)	74.4(1)
S(4)-Nd-S(5)	81.5(1)	S(4)-Nd-S(6)	90.2(1)
S(4)Nd-S(7)	161.3(1)	S(4)-Nd-S(8)	134.3(1)
S(5)-Nd-S(6)	61.0(1)	S(5)-Nd-S(7)	79.8(1)
S(5)-Nd-S(8)	132.0(1)	S(6)-Nd-S(7)	79.9(1)
S(6)-Nd-S(8)	84.4(1)	S(7)-Nd-S(8)	6).0(1)
Md-S(1)-C(1)	91.5(3)	Nd-S(2)-C(1)	90.5(3)
Nd-S(3)-C(3)	90.2(3)	NdS(4)C(3)	50.3(3)
Nd-S(5)-C(5)	90.5(3)	Nd-S(6)-C(5)	90.3(3)
Nd-S(7)-C(7)	90.0(3)	Nd-S(8)-C(7)	89.4(3)
S(1)=C(1)=3(2)	117.0(4)	S(1)-C(1)-N(1)	120.6(7)
S(2)-C(1)-N(1)	122.4(6)	C(1)-N(1)-C(11)	121.7(7)
C(1)-N(1)-C(13)	121.4(7)	C(H)- $N(I)$ - $C(I3)$	116.9(6)
N(1)-C(11)-C(12)	110.6(7)	N(1)-C(13)-C(14)	110.7(7)
S(3)-C(3)-S(4)	117.8(5)	S(3)-C(3)-N(3)	121.4(6)
S(4)-C(3)-N(3)	120.8(6)	C(3)-N(3)-C(31)	121.4(7)
C(3)-N(3)-C(33)	122.5(7)	C(31)-N(3)-C(33)	115.9(6)
N(3)-C(31)-C(32)	112.2(8)	N(3)-C(33)-C(34)	109.9(7)
S(5)-C(5)-S(6)	118.0(5)	S(5)-C(5)-N(5)	120.7(7)
S(6)-C(5)-N(5)	121.3(6)	C(5)-N(5)-C(51)	121.0(9)
C(5)-N(5)-C(53)	120.3(8)	C(51)-N(5)-C(53)	118.7(8)
N(5)-C(51)-C(52)	106.5(11)	N(5)-C(53)-C(54)	106.1(11)
S(7)-C(7)-S(8)	119.1(5)	S(7)-C(7)-N(7)	120.8(6)
S(8)-C(7)-N(7)	120.1(7)	C(7)=N(7)=C(71)	120.9(10)
C(7)-N(7)-C(73)	122.8(7)	C(71)-N(7)-C(73)	116.1(10)
N(7)-C(71)-C(72)	102.4(11)	N(7)-C(73)-C(74)	109.3(10)
C(A1)- $N(A)$ - $C(A3)$	111.6(9)	C(A1)-N(A)-C(A5)	109.5(11)
C(A1)-N(A)-C(A7)	111.5(9)	C(A3)-N(A)-C(A5)	110.5(8)
C(A3)-N(A)-C(A7)	104.1(8)	N(A)-C(A1)-C(A2)	111.5(16)
N(A)-C(A3)-C(A4)	113.7(9)	N(A)-C(A5)-C(A6)	111 9(12)
N(A)C(A7)C(A8)	114.1(9)		

600nm(s),765nm(m)和 815nm(m)处有吸收峰,265nm 和 295nm 可归属于配位体(dTC)  $n\to n^+$  跃迁。540nm,600nm,765nm 和 815nm 可归属于 Nd(f-f)的 f电子跃迁,即 540nm ( $^4I\to ^4D$ ),600nm( $^4I\to ^4G$ ),765nm( $^4I\to ^4F$ )和 815nm( $^4I\to ^4S$ )。

#### 参考文献

[1] Moeller. T., Comprehensive Inorganic Chemistry, Vol. 4 Pergamon Press, 1973.

[2]Schumann.H., Angew.Chem.Int.Ed.Engl., 23,474(1987).

[3]Juzheng L, et al., J. Mol. Sci., 5 (1), 45(1987).

[4]Applied Optics, 2 (7), (1963).

[5][美]F.R.多林希等著,朱自莹等译,《有机化合物的特征拉曼频率》中国化学会,1980年。 [6][美] 中西脊尔,R.H.索罗曼著红外吸收光谱,中国化学会,1980年。

## STUDY ON CRYSTAL STRUCTURE OF NEODY-MIUM COORDINATION COMPOUND CONTAINING CHELATE GROUP

Zhang Zhigui Zhang Wuyang Niu Shuyun

( Department of Chemistry, Jilin University )

Ye Lin Fan Yugue

(Institute of Theoretical Chemistry, Jilin University)

The crystal of Neodymium coordination compound,  $[Et_4N][Nd(S_2CNEt_2)_4]$  was obtained by the reaction of  $NdCI_3$ ,  $NaS_2CNEt_2$  and  $Et_4$  Br in MeOH, and the crystal structure was obtained by X-ray diffraction. The crystal belongs to space group  $P_{2_1} / n$  of monoclinic system. The crystal cell parameters are a = 11.704(3)Å, b = 20.941(3)Å, c = 17.564(4)Å, V = 4242.2Å and Z = 4. The block least-square refinement for all structure parameters gives final discrepancy factor R = 0.0564. In coordination compound, the neodymium ion is coordinated by eight sulphur atoms adopting a distorted dodecahedral geometry of  $NdS_8$  core. The crystal has been further studied by using IR and UV-visible.

Keywords: neodymium coordination compound structure